



مقاله پژوهشی

بررسی ارتباط تغییرات بیانی RNA بلند غیرکدکننده PRNCR1 با سرطان پستان

الله سلیمانپور^۱، اسماعیل بابایی^۱، محمدعلی حسینپورفیضی^{۱*}، وحید منتظری^۲

۱- گروه علوم جانوری، دانشکده علوم طبیعی، دانشگاه تبریز، تبریز، ایران

۲- گروه جراحی قفسه صدری سینه، بیمارستان نورنجات، تبریز، ایران

تاریخ پذیرش مقاله: ۱۳۹۶/۰۷/۰۴

تاریخ دریافت مقاله: ۱۳۹۶/۰۳/۲۰

چکیده

زمینه و هدف: سرطان پستان از جمله رایج‌ترین انواع بدخیمی‌ها است که منجر به مرگ‌ومیر زنان مبتلا به‌ویژه در کشورهای صنعتی می‌شود. مطالعات اخیر نشان می‌دهند که مولکول‌های RNA غیرکدکننده با تأثیر بر ژن‌های هدف در بروز، پیشرفت تومور و همچنین مقاومت به درمان نقش مهمی را ایفا می‌کنند. RNA غیرکدکننده سرطان پروستات (PRNCR1)، RNA غیرکدکننده بلندی است که در برخی سرطان‌ها بیان بالایی دارد و این افزایش بیان، با تأثیر بر ژن‌های زیردست گیرنده آندروژن منجر به سرطان‌زایی می‌شود. هدف از این تحقیق بررسی تغییرات بیانی PRNCR1 در سرطان پستان است.

مواد و روش‌ها: در این تحقیق ۳۰ نمونه بافت توموری و بافت غیر توموری حاشیه تومور از زنان مبتلا به سرطان پستان در محدوده زمانی سال ۹۴-۹۳ از استان آذربایجان شرقی جمع‌آوری و تغییرات بیانی PRNCR1 با استفاده از qReal-Time PCR مورد مطالعه قرار گرفت. آنالیزهای آماری (t-test) جهت مطالعه ارتباط بین تغییر بیان PRNCR1 با خصوصیات کلینیکوپاتولوژیکی نمونه‌های توموری صورت پذیرفت.

نتایج: داده‌های حاصل حاکی از افزایش معنی دار بیان PRNCR1 در نمونه‌های بافت توموری پستان در مقابل بافت نرمال حاشیه تومور بود. همچنین بررسی خصوصیات کلینیکوپاتولوژیکی نشان داد که افزایش بیان PRNCR1 در سرطان پستان با افزایش سایز تومور و متاستاز گره‌های لنفاوی ارتباط مثبت و معنی داری دارد ($P<0.05$).

نتیجه‌گیری: نتایج حاصل از این مطالعه، نشان داد که PRNCR1 تغییرات بیان قابل توجهی در سرطان پستان دارد. با توجه به تأثیر آن در کنترل ژن‌های زیردست گیرنده آندروژن، می‌تواند به عنوان یک هدف درمانی مناسب در سرطان پستان پیشنهاد شود. هرچند بررسی‌های جامع‌تر در این زمینه موردنیاز است.

کلمات کلیدی: سرطان پستان، RNA بلند غیرکدکننده، گیرنده آندروژن، PRNCR1.

مقدمه

و غیر عملکردی هستند و به همین دلیل، RNAهای غیرکدکننده نامیده شدند. این مناطق غیرکدکننده که بهبیش از ۹۰ درصد ژنوم را به خود اختصاص داده‌اند، تنوع گستردگی از RNAهای تنظیمی را شامل می‌شوند که در بیوژنز، خصوصیات و عملکرد متفاوت بوده و نقش بسیار مهمی در تنظیم بیان ژن‌ها و فرآیندهای بیولوژیکی در شرایط طبیعی و بیماری‌ها، بخصوص سرطان دارند (۴-۶) و از نظر طول به دو دسته RNAهای غیرکدکننده کوتاه، از قبیل miRNA (۲۰) و RNAهای نوکلئوتیدی (۲۰۰) و RNAهای غیرکدکننده بلند (lncRNA) (بیش از ۲۰۰ نوکلئوتید) تقسیم می‌شوند (۷).

در سال ۲۰۱۰، Chung و همکاران برای اولین بار RNA بلند غیرکدکننده‌ای با طول تقریبی ۱۳ کیلو باز را در موقعیت ۸۹۲۴ شناسایی کردند. این رونوشت بلند غیرکدکننده، RNA

سرطان پستان یکی از رایج‌ترین علت‌های مرگ‌ومیر در زنان به‌ویژه در کشورهای صنعتی است (۱). غربالگری سرطان پستان اجزا هی تشخیص زودهنگام بدخیمی و درنهایت کاهش میزان مرگ‌ومیر را می‌دهد. هرچند به طور رایج تکنیک‌های متعدد تصویربرداری به منظور غربالگری بدخیمی‌های پستان استفاده می‌شود، اما اغلب حساسیت و اختصاصی تشخیصی کافی را ندارند. بنابراین، دست‌یابی به روش‌های تشخیصی مناسب، قابل اعتماد، دقیق، غیرتهاجمی و همچنین مقومن به صرفه برای شناسایی ناهنجاری‌های بافت پستان موردنیاز است (۲، ۳).

در سال‌های اخیر، محققان، مناطق گستردگی از ژنوم انسان را شناسایی کرده‌اند که قبلاً بر این باور بوده‌اند که غیرکدکننده

*نویسنده مسئول: محمدعلی حسینپورفیضی، گروه علوم جانوری، دانشکده علوم طبیعی، دانشگاه تبریز، تبریز، ایران
Email: pourfeizi@eastp.ir



می شود (۱۳). همچنین حذف lncRNAهای فوق در مدل زنوگرفت، با کاهش رشد سلولی و مهار رشد تومور همراه بود (۱۴). از آنجاکه این lncRNAها شدیداً فعالیت AR را تقویت می کنند، می توانند به عنوان هدف درمانی در سرطان پروستات مورد توجه قرار گیرند (۸، ۱۵).

علاوه بر این که گیرنده آندروژن یک هدف درمانی تائید شده در سرطان پروستات است، مطالعات اخیر نشان داده اند که AR، همچنین می تواند در سرطان پستان با تومورهای دارا یا فاقد گیرنده های استروژن، به عنوان هدف درمانی قرار گیرد. بیان AR همچنین ممکن است نقش مهمی در پیشرفت و تهاجمی شدن تومورهای پستان داشته باشد (۱۶، ۱۵).

با توجه به نقش کلیدی AR در سرطان پستان و همچنین تأثیر تغییرات بیانی PRNCR1 در بیان ژن های زیردست AR، در مطالعه حاضر، بیان PRNCR1 برای نخستین بار در نمونه های بافت توموری پستان مورد بررسی قرار گرفت. همچنین ارتباط بین تغییرات بیانی با خصوصیت کلینیکوپاتولوژیکی بیماران و پتانسیل بیومارکری آن جهت تشخیص سرطان پستان موردمطالعه واقع گردید.

مواد و روش ها

این مطالعه با تائید کمیته اخلاقی تحقیقات پزشکی بیمارستان نورنجات تبریز و همچنین با کسب رضایت نامه کتبی از بیماران مبتلا به سرطان پستان صورت گرفت. کلیه اصول اخلاقی مبتنی بر برخورد مناسب و شایسته با بیماران و حفظ اطلاعات محترمانه آن ها، به طور دقیق رعایت گردید.

بافت توموری و بافت غیر توموری حاشیه تومور مربوط به ۳۰ بیمار خانم مبتلا به سرطان پستان از بیمارستان نورنجات تبریز در محدوده زمانی سال ۹۴-۹۳ جمع آوری گردید. نمونه های بافت به صورت تازه از اتاق عمل تهیه شد و جهت بررسی های پاتولوژیکی به آزمایشگاه پاتولوژی ارسال شده و بخشی از نمونه های بافت جهت مطالعه موردنظر به طور مستقیم در میکروتیوب های عاری از RNase قرار داده شدند. میکروتیوب های حاوی بافت ها، بلا فاصله به فلاسک قابل حمل حاوی نیتروژن مایع موجود در اتاق عمل، منتقل شدند. سپس، نمونه های بافت موجود در فلاسک نیتروژن مایع، به آزمایشگاه ارسال و به تانک حاوی نیتروژن مایع انتقال داده شده و تا زمان استفاده در آنجا نگهداری شدند. تمام نمونه های انتخاب شده پس از بررسی های پاتولوژیکی، نمونه های بد خیمی تهاجمی مجازی بودند و بیماران قبل از

غیر کد کننده سرطان پروستات (PRNCR1) نامیده شد (قبلاً PCAT8 نامیده می شد) و گزارش شد که افزایش بیان PRNCR1 در روند سرطان زایی سرطان پروستات نقش دارد (۸، ۹). گیرنده آندروژن (Androgen Receptor) یا AR، یک فاکتور رونویسی است که بیان ژن های پایین دستیش از قبیل FGF8، PSA و Cdk2، Cdk1 پروستات و همچنین سرطان زایی ضروری می باشند. AR این کار را با تشکیل کمپلکس هایی با تعدادی فاکتورهای تنظیمی یا کمک تنظیم کننده ها و تغییر دهنده های ساختار کروماتینی انجام می دهد (۱۲، ۱۱). Chung و همکاران به منظور بررسی ارتباط بین PRNCR1 و AR، یک وکتور بیانی AR طراحی کرده و به AR-null siRNA مربوط به PRNCR1، به سلول های PC-3 منتقل کرده اند. نتایج نشان داد که حذف بیان PRNCR1 باعث کاهش میزان قابل توجهی از فعالیت گیرنده آندروژن در حضور آندروژن می شود؛ بنابراین یافته های حاصل، بیانگر نقش PRNCR1 در سرطان پروستات با تأثیر بر فعالیت گیرنده آندروژن بود (۸).

Yang و همکاران همچنین تائید کرده اند که دو lncRNA وابسته به سرطان پروستات یعنی رونوشت ۱ اختصاصی پروستات AR و PRNCR1 در فعال سازی ژن های تنظیمی PCGEM1 (PCGEM1) می باشند. آن ها نشان دادند که بیان این دو RNA نقش دارند. آن ها نشان دادند در سرطان تهاجمی پروستات به طور قابل توجهی افزایش می یابد که منجر به اتصال به ژن AR می شود. به این صورت که PRNCR1 به انتهای کربوکسیلی استیله شده گیرنده آندروژن متصل شده که این اتصال منجر به ارتباط Disruptor of) DOT1L با یک هیستون متیل ترانسفراز به نام DOT1L (telomeric silencing 1-like می گردد. اتصال به DOT1L لازمه ی به کار گیری دومین lncRNA PCGEM1 می باشد. DOT1L یعنی میلینیوم Lизین است که با متیلاسیون Lizین ۳۴۹ انتهای آمینوی گیرنده آندروژن، باعث اتصال PCGEM1 به انتهای آمینوی متیله شده گیرنده آندروژن می شود. در سرطان پروستات مقاوم به درمان، این RNA های بلند غیر کد کننده، بیش از حد بیان یافته، به AR متصل شده و منجر به افزایش فعالیت رونوشت AR با طول کامل یا حتی فرم کوتاه شده ای آن می شوند. این امر منجر به فعال سازی ژن های تحت کنترل AR از طریق روش های وابسته به لیگاند یا مستقل از لیگاند و در نهایت، افزایش تکثیر سلول های سرطان پروستات



دور ۷۵۰۰ g سانتریفیوژ صورت گرفت. محلول رویی مجدداً دور ریخته شد و رسوب حاصل به منظور انجام آزمایش‌های بعدی در آب فاقد RNA (RNase-free water) حل و تا زمان استفاده در دمای ۸۰- درجه سانتی‌گراد نگهداری شد. کیفیت و کمیت RNA‌های استخراج شده با استفاده از ژل آگارز و بررسی میزان جذب ۲۶۰ به ۲۸۰ نانومتر RNA با استفاده از دستگاه نانودرایپ اندازه‌گیری شد (جدول ۲).

به منظور حذف آلودگی‌های احتمالی با DNA، قبل از انجام واکنش RT-PCR، RNA مورد استفاده توسط آنزیم I DNase تیمار گردید. RNA تیمار شده با DNase I، با ۰/۵ میکرولیتر آنزیم رندوم هگزامر به مدت ۵ دقیقه در دمای ۷۰ درجه سانتی‌گراد انکوبه شد. در مرحله بعد، ۱ میکرولیتر مخلوط dNTP و ۲ میکرولیتر بافر RT و به مقدار موردنیاز آب مقطّر استریل اضافه و پس از ۵ دقیقه انکوباسیون در دمای ۳۷ درجه سانتی‌گراد، ۰/۵ میکرولیتر آنزیم RT اضافه شد. انکوباسیون مخلوط واکنش در دمای ۴۲ درجه سانتی‌گراد به مدت ۸۰ دقیقه انجام گرفت.

ژن $\beta2m$ ، یک ژن خانه‌دار است که برای حفظ و نگهداری سلول‌ها به طور پیوسته بیان می‌شود، بنابراین به عنوان یکی از کاندیدهای مناسب جهت استفاده به عنوان ژن کنترل داخلی، در این مطالعه مورد بررسی قرار گرفت. پرایمرهای مورد استفاده در این مطالعه با استفاده از نرمافزار GeneRunner (نسخه ۴) طراحی و با نرمافزار OLIGO (نسخه ۷/۵) ارزیابی گردیدند. اختصاصیت پرایمرها توسط سایت NCBI تائید شد. همچنین توالی‌های تکثیری توسط سایت UNAFold (۱۷) از نظر ساختار-های ثانویه‌ای که ممکن بود در روند کار Real-Time PCR اختلال ایجاد کند، بررسی گردید. توالی پرایمرهای طراحی شده در جدول ۳ مشاهده می‌شود.

پس از سنتز cDNA، بررسی کمی سطح بیان PRNCR1 با استفاده از روش qRT-PCR و با استفاده از SYBR® Green Supermix (Takara, Japan, Lot. no. AF31017N) پذیرفت. واکنش در ۴۵ چرخه شامل واسرشتگی در دمای ۹۴ درجه سانتی‌گراد به مدت ۲۵ ثانیه، اتصال در دمای ۶۱ درجه سانتی‌گراد به مدت ۳۰ ثانیه و مرحله ۲۵ ثانیه‌ای بسط در دمای ۷۲ درجه سانتی‌گراد انجام شد.

داده‌های حاصل از تغییرات بیان با روش $2^{-\Delta\Delta Ct}$ و با استفاده از نرمافزار REST آنالیز شدند. سایر آنالیزهای آماری با استفاده از

نمونه‌برداری تحت هیچ‌گونه شیمی‌درمانی و یا پرتو درمانی قرار نگرفته بودند. سن متوسط بیماران 50 ± 20 (بین ۳۵ تا ۸۰ سال) بوده و تمام بیماران از نظر جنسیت، محل سکونت و شیوه‌ی زندگی مشابه بودند. مشخصات کلینیکوپاتولوژیکی بیماران در جدول ۱ مشاهده می‌گردد.

جدول ۱- تعداد و خصوصیات کلینیک-پاتولوژیکی نمونه‌های توموری پستان

خصوصیات کلینیک-پاتولوژیکی	تعداد نمونه
بافت توموری	۳۰
بافت حاشیه توموری	۳۰
سن	
بیشتر و مساوی ۵۰ سال	۱۷
کمتر از ۵۰ سال	۱۳
درجه تمایزی *TNM	
Stage I	۸
Stage II	۱۵
Stage III	۷
متاستاز گره لنفاوی	
ثبت	۱۷
منفی	۱۳
سایز تومور	
بزرگ‌تر و مساوی ۲،۵ سانتی‌متر	۱۴
کوچک‌تر از ۲،۵ سانتی‌متر	۱۶

*TNM= tumor-node-metastasis staging

استخراج RNA با استفاده از محلول استخراج TRIzol (Invitrogen, Carlsbad, CA, USA, Lot. no. 5017511) اساس دستورالعمل کارخانه انجام گرفت. به طور خلاصه، نمونه‌های بافت به طور مستقیم و منجمد از تانک نیتروژن مایع، جهت هموژنیزه شدن به هاون چینی مستقر در زیر هود، منتقل گردید و توسط هاون به خوبی کوییده شد. ۱ میلی‌لیتر از محلول TRIzol به نمونه‌ی بافت هموژنیزه شده اضافه شد. سپس ۲۰۰ میکرو لیتر کلروفورم افزوده گردید و به مدت ۱۵-۲۰ دقیقه در دمای اتاق انکوبه شد. سانتریفیوژ با سرعت ۱۲۰۰۰ g در دمای ۴ درجه سانتی‌گراد به مدت ۲۰ دقیقه صورت گرفت و سپس محلول رویی به میکروتیوب دیگری منتقل شد و هم‌حجم محلول فوق، ایزوپروپانول ۱۰۰ درصد اضافه گردید. به دنبال ۱۰ دقیقه انکوباسیون در دمای اتاق و ۱۵ دقیقه سانتریفیوژ با دور ۱۲۰۰۰ g، محلول رویی دور ریخته شد و به رسوب حاصل به منظور شستشو، ۱ میلی‌لیتر اتانول ۷۵ درصد اضافه و مجدد با



جدول ۲- اطلاعات حاصل از بررسی میزان خلوص RNA استخراج شده با توجه به میزان جذب ۲۶۰ نانومتر به ۲۸۰ نانومتر توسط دستگاه

نمونه های توموری	میزان جذب ۲۶۰ به ۲۸۰	نمونه های حاشیه توموری	میزان جذب ۲۶۰ به ۲۸۰
T1	۱/۹۷	N1	۱/۸۹
T2	۲/۰	N2	۱/۹۳
T3	۱/۸۹	N3	۱/۶۹
T4	۲/۰۱	N4	۱/۹۸
T5	۲/۰۱	N5	۲/۰
T6	۱/۹۸	N6	۲/۰۱
T7	۱/۷۶	N7	۱/۸۹
T8	۱/۸۸	N8	۱/۶۹
T9	۲/۰	N9	۱/۹۶
T10	۱/۶۰	N10	۱/۷۸
T11	۱/۹۱	N11	۲/۰۱
T12	۱/۵۳	N12	۱/۸۹
T13	۱/۸۸	N13	۲/۰
T14	۲/۰۱	N14	۱/۹۱
T15	۱/۷۶	N15	۱/۸۸
T16	۱/۹۳	N16	۱/۷۶
T17	۲/۰۲	N17	۱/۹۳
T18	۲/۰	N18	۲/۰۱
T19	۱/۹۰	N19	۱/۸۹
T20	۱/۸۷	N20	۱/۹۳
T21	۱/۹۲	N21	۲/۰
T22	۱/۹۰	N22	۱/۹۴
T23	۱/۷۸	N23	۱/۸۶
T24	۱/۸۵	N24	۱/۸۹
T25	۲/۰	N25	۱/۹۱
T26	۲/۰۱	N26	۱/۹۰
T27	۱/۹۹	N27	۲/۰۱
T28	۱/۷۹	N28	۱/۸۰
T29	۱/۸۹	N29	۱/۷۶
T30	۲/۰	N30	۱/۹۶

جدول ۳- توالی پرایمرهای مورداستفاده برای PRNCR1 و β 2m

نام زن	توالی پرایمر	طول محصول به جفت باز
PRNCR1	Forward 5'- CTAAGTCCACAGAGCAGGCAG-3'	۹۱
	Reverse 5'-GAAGAAGAGCAGCATCCACAT-3'	
β 2m	Forward 5'- CTACTCTCTTTCTGGCCTG-3'	۱۹۱
	Reverse 5'- GACAAGTCTGAATGCTCCAC-3'	



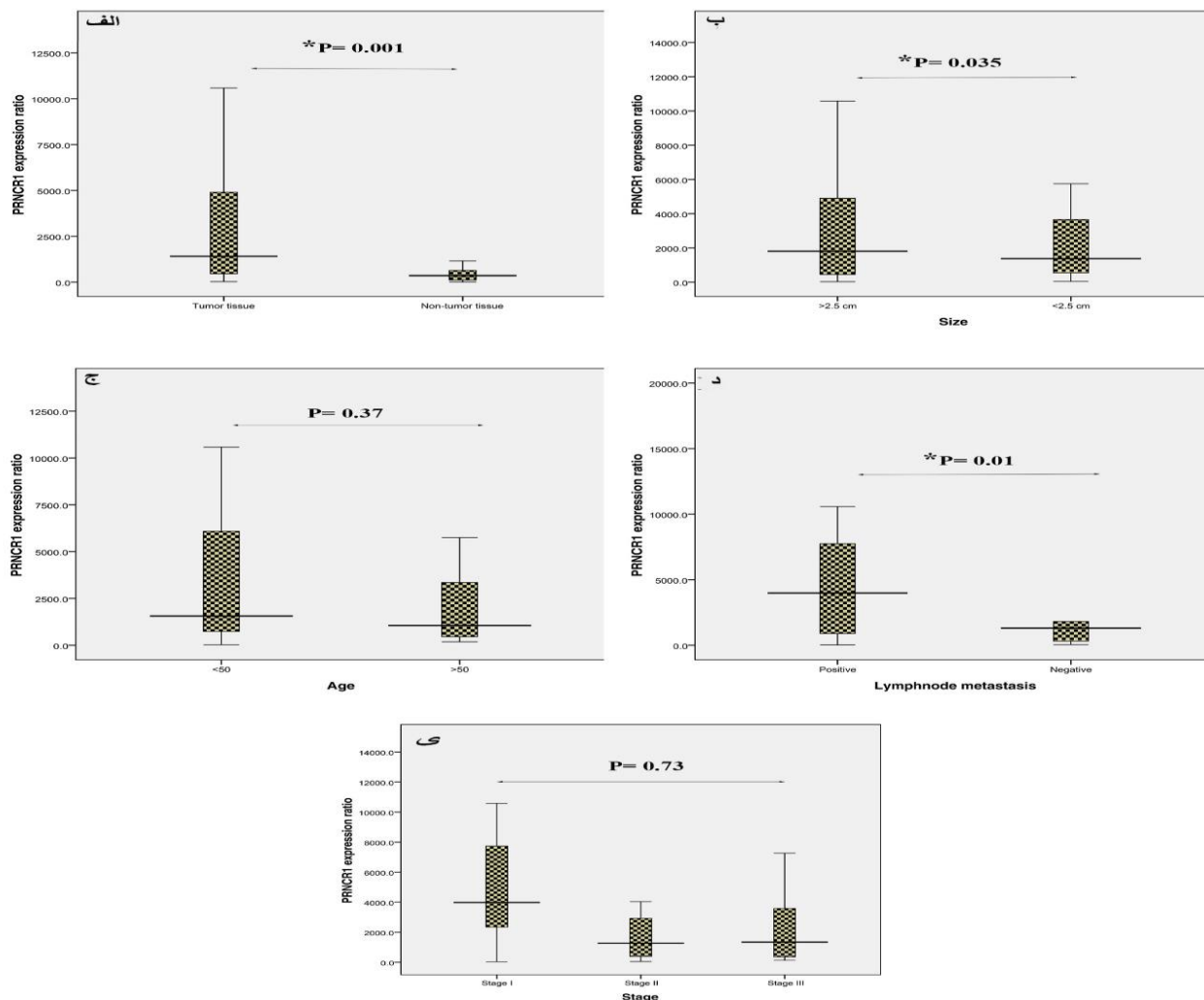
PRNCR1 به عنوان بیومارکر، محیط زیر منحنی با استفاده از نرم افزار Sigma Plot (نسخه ۱۲/۵) اندازه‌گیری شد.

نتایج

نتایج حاصل از آنالیز با نرم افزار REST نشان داد که بیان PRNCR1 در نمونه‌های بافت توموری پستان در مقایسه با نمونه‌های نرمال حاشیه تومور، افزایش معنی‌داری داشته است ($p=0.001$). به این ترتیب که بیان PRNCR1 در نمونه‌های بافت توموری $6/636$ برابر بیشتر از نمونه‌های نرمال حاشیه تومور بود (شکل ۱ الف).

نرم افزار SPSS (نسخه ۱۶) و تست‌های t-test و One way Anova انجام گرفت و ارزش P (p value) کوچک‌تر از 0.05 مبنای معنی‌دار بودن تفاوت‌ها بود.

منحنی ROC ابزار مناسبی برای بررسی دقت تشخیصی و یا پتانسیل یک ژن یا تست جهت بررسی احتمال استفاده به عنوان بیومارکر است (۱۸). بسیاری از روش‌های شناسایی بیومارکرها مبتنی بر حداکثر میزان محیط زیر منحنی ROC (AUC) یا ROC می‌باشند، به این صورت که هرچه محیط زیر منحنی به یک نزدیک‌تر باشد، ژن مورد بررسی دقت تشخیصی بالاتری دارد (۱۹)؛ بنابراین به منظور بررسی میزان حساسیت و اختصاصیت

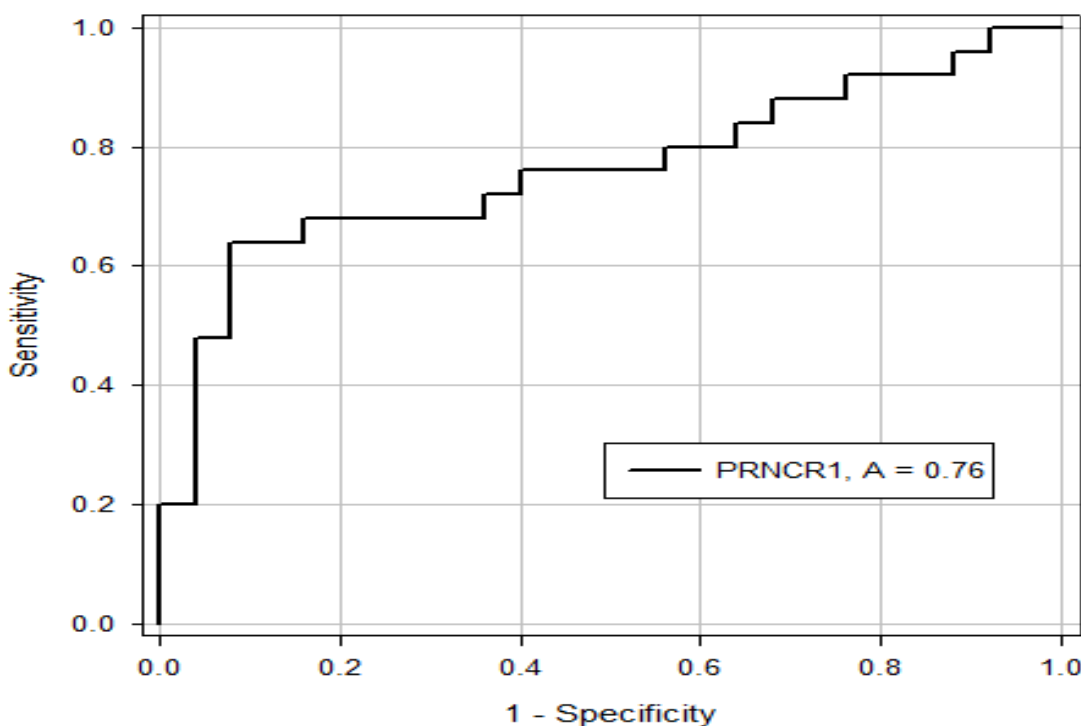


شکل ۱- بررسی تفاوت بیان PRNCR1 و خصوصیات کلینیکوپاتولوژیکی نمونه‌های بافت توموری پستان. الف) تغییرات بیانی PRNCR1 در نمونه‌های توموری نسبت به نمونه‌های نرمال حاشیه تومور و ارتباط افزایش بیان آن با (ب) سایز تومور (ج) سن بیمار (د) درگیری گره لنفاوی (ه) درجه توموری. محور Y میزان بیان PRNCR1 ژن ضرب در ۱۰۰۰ است. * نشان‌دهنده معنی‌دار بودن رابطه است.

I، II و III تقسیم می‌شوند که طبق آنالیزهای صورت گرفته ارتباط معنی‌داری بین بیان PRNCR1 با درجه تمایزی توموری با احتساب $p = 0.730$ مشاهده نگردید (شکل ۱ ا).

به منظور بررسی پتانسیل PRNCR1، جهت استفاده به عنوان بیومارکر تشخیصی سرطان پستان، منحنی ROC با استفاده از نرم‌افزار Sigma Plot رسم گردید. همان‌طور که در شکل ۲ قابل مشاهده است، سطح زیر منحنی (A) به دست آمده توسط نرم‌افزار، عدد ۰/۷۶ را نشان می‌دهد. عدد حاصله نشان می‌دهد که PRNCR1 احتمالاً بتواند به عنوان بیومارکر مناسبی جهت تشخیص سرطان پستان مورد استفاده قرار گیرد.

به منظور بررسی ارتباط تفاوت بیان PRNCR1 در نمونه‌های بافت توموری با خصوصیات کلینیکو-اتولوژیکی (سن، درجه تمایز تومور، سایز تومور و درگیری گره‌های لنفاوی) از نرم‌افزار SPSS (نسخه ۱۶) استفاده شد. تومورها از نظر سایز در دو گروه کوچک‌تر یا مساوی ۲/۵ سانتی‌متر و بزرگ‌تر از ۲/۵ سانتی‌متر تقسیم شدند و نتیجه آنالیز t-test، ارتباط معنی‌داری بین تغییرات سطح بیان PRNCR1 و اندازه تومور نشان داد ($p = 0.35$). بدین‌صورت که ارتباط مثبت و معنی‌داری بین افزایش سطح بیان PRNCR1 با افزایش سایز تومور مشاهده گردید (شکل ۲ ب). بیماران همچنین در دو گروه سنی کمتر یا



شکل ۲- منحنی ROC برای PRNCR1 در نمونه‌های بافت توموری به منظور بررسی میزان حساسیت، اختصاصیت و پتانسیل بیومارکری PRNCR1 جهت تشخیص سرطان پستان

بحث و نتیجه گیری

در مطالعه حاضر، برای اولین بار ارتباط بین تغییرات بیانی RNA بلند غیرکدکننده PRNCR1 با سرطان پستان مورب‌بررسی قرار گرفت. تاکنون PRNCR1 تنها در سرطان‌های پروستات و کلورکتال مورب‌بررسی قرار گرفته است و نتایج حاصل از این بررسی نشان داد که هم‌راستا با سرطان‌های پروستات و کلورکتال (۲۰، ۱۳)، PRNCR1 در نمونه‌های توموری بافت پستان نسبت به نمونه‌های نرمال حاشیه‌ی توموری افزایش بیان معنی‌داری

مساوی پنجاه سال و بیشتر از پنجاه سال دسته‌بندی شدند؛ اما تفاوت معنی‌داری بین تغییرات بیان PRNCR1 در دو گروه سنی موردنظر دیده نشد ($p = 0.37$) (شکل ۱ ج).

علاوه بر آن، تومورها از نظر متاستاز گره‌های لنفاوی به دو گروه مثبت و منفی دسته‌بندی شدند و با محاسبه $p = 0.01$ ، ارتباط مثبت و معنی‌داری بین افزایش بیان PRNCR1 و متاستاز گره‌های لنفاوی دیده شد (شکل ۱ د).

از لحاظ درجه تمایز، نمونه‌های توموری همچنین در سه دسته



تغییرات بیان PRNCR1 در نمونه‌های توموری و رده‌های سلولی سرطان کلورکتال موربرسی قرار گرفت. در مطالعه انجام شده توسط Yang و همکاران، PRNCR1 در نمونه‌های توموری کلورکتال افزایش بیان قابل توجهی نسبت به نمونه‌های نرمال حاشیه تومور نشان داد و این سطح بالای بیان با افزایش سایز تومور همراه بود که گزارش‌های حاصله مشابه با نتایج به دست آمده در مطالعه حاضر در سرطان پستان بود. آن‌ها همچنین با بررسی منحنی ROC و گزارش سطح زیر منحنی ۰/۷۹۹، گزارش کردند که ارزش تشخیصی PRNCR1 بالاتر از بیومارکر CEA-CA199 (AUC=۰/۶۵۱) است. بنابراین می‌تواند به عنوان یک بیومارکر با حساسیت تشخیصی مناسب مورد استفاده قرار گیرد. توقف بیان PRNCR1 با روش اولیگو‌نوکلئوتید آنتی‌سنس، نشان داد که حذف آن باعث توقف تکثیر سلولی شده اما تأثیری روی آپوپتوز سلولی یا توانایی تهاجم ندارد (۲۰).

مطالعه دیگری در سرطان معده، نشان داد که پلی‌مورفیسم‌های تک نوکلئوتیدی در PRNCR1 با افزایش احتمال ابتلا به سرطان معده در ارتباط است و SNP‌های موجود در PRNCR1 نیز می‌توانند به عنوان بیومارکری برای تشخیص این بیماری استفاده شوند (۲۸).

در حال حاضر، اطلاعات اندکی در زمینه نقش و عملکرد PRNCR1 در دسترس است؛ اما نکته‌ی قابل توجه این است که PRNCR1 فعالیت خود را به واسطه گیرنده آندروژن انجام می‌دهد. در سرطان پستان، AR بیشتر و گسترده‌تر از گیرنده‌های استروژن و پروژتسترون بیان می‌شود و اخیراً AR به عنوان مارکر مناسبی جهت دسته‌بندی سرطان پستان مورد استفاده قرار گرفته است (۲۹)، هرچند گیرنده آندروژن در زیرگروه‌های مختلف سرطان پستان، عملکردهای متفاوتی دارد (۳۰). مطالعه در جمعیت بزرگی از زنان مبتلا به سرطان پستان نشان داده است که بیان AR با درجه تمایزی تومور، خصوصیات پاتولوژیکی و فنوتیپ مولکولی در ارتباط است (۳۱). بنابراین بررسی تغییرات بیانی PRNCR1 با توجه به ارتباطش با AR در سرطان پستان، به منظور بررسی پتانسیل تشخیصی و درمانی آن حائز اهمیت است.

یافته‌های این مطالعه نشان داد که در سرطان پستان، مطابق با نتایج گزارش شده در سرطان‌های پروستات و کلورکتال، سطح بیان PRNCR1 در نمونه‌های توموری به طور معنی‌داری افزایش

دارد که این افزایش بیان در نمونه‌های توموری پستان با متاستاز به گره‌های لنفاوی ارتباط مستقیمی نشان داد. علاوه بر آن، دیده شد که مطابق یافته‌های گزارش شده در سرطان کلورکتال (۲۰)، ارتباط معنی‌داری نیز بین افزایش سطح بیان PRNCR1 با افزایش سایز تومور در نمونه‌های بافت پستان وجود دارد. RNAهای غیرکدکننده با دخالت در سه مسیر مختلف در بسیاری از فرآیندهای مربوط به سرطان از جمله شروع، پیشرفت و متاستاز نقش دارند (۳۱)، برخی از آن‌ها به عنوان انکوژن H19 عمل می‌کنند، از قبیل MALAT1 در سرطان ریه (۲۲) و در سرطان کولون (۳۲). برخی با متاستاز و پیشرفت تومور در ارتباط هستند از قبیل HOTAIR (۳۴) و برخی دیگر از قبیل MEG3 نقش سرکوبگری توموری دارد (۲۵).

با توجه به مطالعات متعدد صورت گرفته در گذشته، منطقه‌ی ۸q24 حاوی مناطق تنظیمی به خصوص تقویت‌کننده‌ها است و بعدها دیده شد که لوکوس‌هایی با ریسک بالای درگیری در سرطان‌های اپی‌تلیال از قبیل کولون، پستان و پروستات هستند (۳۶). در سال ۲۰۱۰ برای اولین بار، PRNCR1 در موقعیت ۸q24 در سرطان پروستات شناسایی شد و دیده شد که بیان PRNCR1 می‌تواند با حیات سلول سرطانی پروستات و فعالیت گیرنده آندروژن در ارتباط باشد (۸). PRNCR1 با افاضلهای کمتر از یک مگا باز از ژن CMYC در موقعیت ۸q24 در قرار دارد و همچنین SNP‌هایی در ژن PRNCR1 شناسایی شد که دیده شد می‌توانند با تأثیر بر ساختار ثانویه یا شکل فضایی رونوشت PRNCR1، پایداری آن را تغییر دهد (۸). Yang و همکاران نشان دادند که بیان دو PCGEM1 و PRNCR1 IncRNA در سرطان پروستات افزایش قابل توجهی می‌یابند و عملکرد خود را از طریق اتصال به ژن گیرنده آندروژن، افزایش فعالیت آن و بنابراین فعال‌سازی ژن‌های هدف آن، کنترل می‌کنند و می‌توان از آن‌ها به عنوان هدف‌های درمانی استفاده شود. آن‌ها همچنین گزارش کردند که PRNCR1 جهت اتصال به گیرنده آندروژن، نیازمند حضور PCGEM1 است (۱۳). برخلاف یافته‌های حاصل از مطالعات Yang، Presner و همکاران نتوانستند ارتباط معنی‌داری بین تغییرات بیانی IncRNA مربوطه با فرم تهاجمی سرطان پروستات پیدا کنند (۲۷).

در بررسی‌های انجام شده در سرطان کلورکتال، ارتباط معنی‌داری بین تغییرات تک نوکلئوتیدی در ژن PRNCR1 با احتمال ابتلا به سرطان کلورکتال دیده شد (۲۱). به دنبال آن،



می‌شود. مطالعه رده‌های مختلف سلول سرطانی پستان، حذف بیان PRNCR1 در رده‌ی سلولی مربوطه و بررسی تغییراتی از قبیل میزان تکثیر، آپوپتوز و خاصیت تهاجمی در رده سلولی سرطانی از سایر پیشنهادهای مطرح شده می‌باشد.

تشکر و قدردانی

نویسندگان مراتب تشکر و قدردانی خود را از کارکنان محترم بیمارستان نورنجات و همچنین بیماران محترم که صمیمانه ما را جهت جمع‌آوری نمونه همکاری کردند، اعلام می‌دارند. کد اخلاق مطالعه حاضر ۵,۴,۳۲۵۹ از دانشگاه تبریز می‌باشد.

تعارض منافع

نویسندگان هیچ گونه تعارض منافعی را اعلام نکرده‌اند.

می‌یابد که این افزایش بیان PRNCR1 در نمونه‌های توموری می‌تواند مبنی نقش انکوژنی این RNAⁱ بلند غیرکدکننده باشد. همچنین نتیجه حاصل از بررسی پتانسیل تشخیصی PRNCR1 به عنوان بیومارکر تشخیصی سرطان پستان، همراستا با نتایج حاصل از سرطان کلورکتال (۲۰)، نشان داد که PRNCR1 حساسیت و اختصاصیت قابل توجهی جهت استفاده به عنوان بیومارکر تشخیصی را دارد.

نظر به عملکردهای مختلف گیرنده آندروژن در سرطان‌های پستان با زمینه‌ی مولکولی متفاوت، بررسی تغییرات بیان PRNCR1 در زیرگروه‌های مختلف با تمرکز بر میزان و عملکرد AR پیشنهاد می‌شود. همچنین با توجه به محدود بودن تعداد نمونه‌های مورد مطالعه در این تحقیق، به منظور دستیابی به نتایج مطلوب و جامع‌تر، بررسی جامعه‌ی آماری گسترده‌تر، پیشنهاد

References

- Shulman LN, Willett W, Sievers A, Knaul FM. Breast cancer in developing countries: opportunities for improved survival. *J Oncol*. 2010;2010:1-6.
- Roth C, Rack B, Muller V, Janni W, Pantel K, Schwarzenbach H. Circulating microRNAs as blood-based markers for patients with primary and metastatic breast cancer. *Breast Cancer Res*. 2010;12(6):R90.
- Sinclair N, Littenberg B, Geller B, Muss H. Accuracy of screening mammography in older women. *AJR Am J Roentgenol*. 2011;197(5):1268-73.
- Dermitzakis ET, Reymond A, Antonarakis SE. Conserved non-genic sequences - an unexpected feature of mammalian genomes. *Nat Rev Genet*. 2005;6(2):151-7.
- Nana-Sinkam SP, Croce CM. Non-coding RNAs in cancer initiation and progression and as novel biomarkers. *Mol Oncol*. 2011;5(6):483-91.
- Ponjavic J, Ponting CP, Lunter G. Functionality or transcriptional noise? Evidence for selection within long noncoding RNAs. *Genome Res*. 2007;17(5):556-65.
- Guttman M, Amit I, Garber M, French C, Lin MF, Feldser D, et al. Chromatin signature reveals over a thousand highly conserved large non-coding RNAs in mammals. *Nature*. 2009;458(7235):223-7.
- Chung S, Nakagawa H, Uemura M, Piao L, Ashikawa K, Hosono N, et al. Association of a novel long non-coding RNA in 8q24 with prostate cancer susceptibility. *Cancer Sci*. 2011;102(1):245-52.
- Prensner JR, Iyer MK, Balbin OA, Dhanasekaran SM, Cao Q, Brenner JC, et al. Transcriptome sequencing across a prostate cancer cohort identifies PCAT-1, an unannotated lincRNA implicated in disease progression. *Nat Biotechnol*. 2011;29(8):742-9.
- Jariwala U, Prescott J, Jia L, Barski A, Pregizer S, Cogan JP, et al. Identification of novel androgen receptor target genes in prostate cancer. *Mol Cancer*. 2007;6:39.
- Heemers HV, Tindall DJ. Androgen receptor (AR) coregulators: a diversity of functions converging on and regulating the AR transcriptional complex. *Endocr Rev*. 2007;28(7):778-808.
- Tan MH, Li J, Xu HE, Melcher K, Yong EL. Androgen receptor: structure, role in prostate cancer and drug discovery. *Acta Pharmacol Sin*. 2015;36(1):3-23.
- Yang L, Lin C, Jin C, Yang JC, Tanasa B, Li W, et al. lncRNA-dependent mechanisms of androgen-receptor-regulated gene activation programs. *Nature*. 2013;500(7464):598-602.
- Petrovics G, Zhang W, Makarem M, Street JP, Connelly R, Sun L, et al. Elevated expression of PCGEM1, a prostate-specific gene with cell growth-promoting function, is associated with high-risk prostate cancer patients. *Oncogene*. 2004;23(2):605-11.
- Iacopetta D, Rechoum Y, Fuqua SA. The Role of Androgen Receptor in Breast Cancer. *Drug Discov Today Dis Mech*. 2012;9(1-2):e19-e27.



16. Ni M, Chen Y, Lim E, Wimberly H, Bailey ST, Imai Y, et al. Targeting androgen receptor in estrogen receptor-negative breast cancer. *Cancer Cell*. 2011;20(1):119-31.
17. Zuker M MN. The UNAFold Web Server [internet]. Albany: The RNA Institute, College of Arts and Sciences; 1995 [updated 2017 March 13; cited 2017 April 16]. Available from: <http://unafold.rna.albany.edu/>.
18. Metz CE. Basic principles of ROC analysis. *Semin Nucl Med*. 1978;8(4):283-98.
19. Pepe MS, Thompson ML. Combining diagnostic test results to increase accuracy. *Biostatistics*. 2000;1(2):123-40.
20. Yang L, Qiu M, Xu Y, Wang J, Zheng Y, Li M, et al. Upregulation of long non-coding RNA PRNCR1 in colorectal cancer promotes cell proliferation and cell cycle progression. *Oncol Rep*. 2016;35(1):318-24.
21. Li L, Sun R, Liang Y, Pan X, Li Z, Bai P, et al. Association between polymorphisms in long non-coding RNA PRNCR1 in 8q24 and risk of colorectal cancer. *J Exp Clin Cancer Res*. 2013;32(1):104.
22. Ji P, Diederichs S, Wang W, Boing S, Metzger R, Schneider PM, et al. MALAT-1, a novel noncoding RNA, and thymosin beta4 predict metastasis and survival in early-stage non-small cell lung cancer. *Oncogene*. 2003;22(39):8031-41.
23. Barsyte-Lovejoy D, Lau SK, Boutros PC, Khosravi F, Jurisica I, Andrusilis IL, et al. The c-Myc oncogene directly induces the H19 noncoding RNA by allele-specific binding to potentiate tumorigenesis. *Cancer Res*. 2006;66(10):5330-7.
24. Gupta RA, Shah N, Wang KC, Kim J, Horlings HM, Wong DJ, et al. Long non-coding RNA HOTAIR reprograms chromatin state to promote cancer metastasis. *Nature*. 2010;464(7291):1071-6.
25. Zhang X, Rice K, Wang Y, Chen W, Zhong Y, Nakayama Y, et al. Maternally expressed gene 3 (MEG3) noncoding ribonucleic acid: isoform structure, expression, and functions. *Endocrinology*. 2010;151(3):939-47.
26. Fletcher O, Johnson N, Gibson L, Coupland B, Fraser A, Leonard A, et al. Association of genetic variants at 8q24 with breast cancer risk. *Cancer Epidemiol Biomarkers Prev*. 2008;17(3):702-5.
27. Prensner JR, Sahu A, Iyer MK, Malik R, Chandler B, Asangani IA, et al. The lncRNAs PCGEM1 and PRNCR1 are not implicated in castration resistant prostate cancer. *Oncotarget*. 2014;5(6):1434-8.
28. Li L, Jia F, Bai P, Liang Y, Sun R, Yuan F, et al. Association between polymorphisms in long non-coding RNA PRNCR1 in 8q24 and risk of gastric cancer. *Tumour Biol*. 2016;37(1):299-303.
29. Cochrane DR, Bernales S, Jacobsen BM, Cittelly DM, Howe EN, D'Amato NC, et al. Role of the androgen receptor in breast cancer and preclinical analysis of enzalutamide. *Breast Cancer Res*. 2014;16(1):R7.
30. Pietri E, Conteduca V, Andreis D, Massa I, Melegari E, Sarti S, et al. Androgen receptor signaling pathways as a target for breast cancer treatment. *Endocr Relat Cancer*. 2016;23(10):R485-98.
31. Collins LC, Cole KS, Marotti JD, Hu R, Schnitt SJ, Tamimi RM. Androgen receptor expression in breast cancer in relation to molecular phenotype: results from the Nurses' Health Study. *Mod Pathol*. 2011;24(7):924-31.

**Original Article****Evaluating Long non-coding RNA PRNCR1 in Breast Cancer****Soleimanpour E¹, Babaei E¹, Hosseinpourfeizi MA^{1*}, Montazeri V²**

1. Department of Animal Biology, Faculty of Natural Sciences, University of Tabriz, Tabriz, Iran

2. Department of Thoracic Surgery, Noornejat Hospital, Tabriz, Iran

Received: 10 Jun 2017

Accepted: 26 Sep 2017

Abstract

Background & Objective: Breast cancer is one of the most common malignancies leading to death in women especially in industrial countries. Recent studies revealed that noncoding RNAs play important roles in various cellular activities such as tumor initiation, progression, and resistance to therapy. PRNCR1 is a long noncoding RNA that upregulates in some cancers and through androgen receptor signaling causes carcinogenesis. The aim of this study was to evaluate the expression pattern of PRNCR1 in breast cancer patients.

Material & methods: In the present study, 30 breast tumor specimens and paired adjacent nontumoral tissues were collected from breast cancer women from East Azarbaijan province during the period of 2014-2015 and the expression level of PRNCR1 was evaluated using qRT-PCR. Also, the statistical analysis (t-test) was performed to examine the association between PRNCR1 and clinic-pathologic characteristics of tumor samples.

Results: The data revealed that PRNCR1 significantly upregulates in breast tumor tissues compared to the paired adjacent normal tissues. Moreover, overexpression of PRNCR1 in breast tumor tissues was significantly related to tumor size and lymph node metastasis ($P<0.05$).

Conclusion: The results revealed that PRNCR1 significantly dysregulates in breast cancer. Considering its effect on downstream pathways of androgen receptor, suggesting that it might be used as a therapeutic agent, although further studies are required.

Keywords: Breast cancer, long noncoding RNA, androgen receptor, PRNCR1

***Corresponding Author:** Mohammadali Hosseinpourfeizi, Department of Animal Biology, Faculty of Natural Sciences, University of Tabriz, Tabriz, Iran.

E-mail: pourfeizi@eastp.ir

Journal of Fasa University of Medical Sciences 8 (2018): 637- 646